

## ASA 프로그램을 이용한 박막태양전지의 고효율화 방안

박종영, 이영석, 허종규, 이준신

성균관대학교

### High Efficiency of Thin Film Silicon Solar Cell by using ASA Program

Jongyoung Park, Youngseok Lee, Jongkyu Heo, Junsin Yi

Sungkyunkwan Univ.

**Abstract :** 박막태양전지에서 p-layer, i-layer, n-layer의 thickness와 doping concentration은 가장 기본이 되는 요소이다. 각 layer에서 위 두 가지 요소를 ASA simulator를 이용해서 높은 효율을 갖는 박막태양전지를 설계하기 위해 조절하였다. Simulation 결과 p-layer의 thickness는  $9.5 \times 10^{-9}$ m, doping concentration은 0.2eV, i-layer의 thickness는  $4.535 \times 10^{-7}$ m, n-layer의 thickness는  $2 \times 10^{-8}$ m, doping concentration은 0.1eV에서 최종 11.48%의 효율을 얻을 수 있었다. 본 연구를 통하여 높은 효율의 박막태양전지 설계 시에 도움이 될 수 있을 것이다.

**Key Words :** 박막태양전지, ASA, p-layer, i-layer, n-layer, thickness, doping concentration, 효율(efficiency)

#### 1. 서 론

오늘날 18세기 산업혁명 이후 대량의 화석연료 사용으로 지구 온난화가 급속도로 진행되고 있다. 지구 온난화는 우리의 생활과 환경에 큰 영향을 끼치고 있어 현재 뿐만 아니라 미래 사회에서도 가장 큰 이슈가 될 것이다. 또한 화석연료는 양적인 측면에서 한계가 있기 때문에 고갈로 인한 미래社会의 에너지 수급에도 큰 어려움이 생길 것으로 보인다. 이러한 화석연료를 이용한 에너지 수급의 문제점들을 해결하기 위하여 우리는 대체 에너지 개발에 많은 연구를 하기 시작했다. 그중에서도 태양광을 이용한 에너지가 많이 부각되고 있는데, 그 이유로는 거의 무한이라고 할 수 있는 태양광 자원과 환경오염에서 비교적 자유롭다는 점 때문이라 할 수 있을 것이다. 이에 태양광을 이용한 에너지의 가장 기본이 되는 분야인 태양전지에 대한 연구도 따라서 활발히 진행되고 있다.

현재 연구되고 있는 태양전지는 기본적으로 실리콘 태양전지, 화합물 반도체 태양전지, 그리고 기타 태양전지로 나눌 수 있다. 가장 많이 이용되고 있는 것은 실리콘 태양전지로 이는 다시 결정질과 박막으로 나눌 수 있다. 결정질은 단결정과 다결정으로 나눌 수 있고 단결정 실리콘 태양전지는 현재 여러 가지 태양전지 중에서 일반적으로 많이 사용되고 있다. 다결정 실리콘 태양전지 또한 단결정 보다는 효율이 떨어지지만 제조단가가 저렴하여 많이 사용되고 있다. 하지만 단결정 및 다결정 실리콘 태양전지는 제조가격의 50% 이상을 차지하는 실리콘 기판으로 인한 높은 제조 단가와 대면적화의 어려움, 그리고 공정 자체가 복잡하여 가격 절감 측면에서 단점이 있다.

때문에 실리콘 사용을 줄일 수 있는 박막태양전지가 많이 연구되고 있다. 박막 실리콘 태양전지 기술의 경우 아직은 성능의 재현성, 단결정 및 다결정 실리콘 태양전지에 비해 낮은 효율 등의 문제를 가지고 있지만 모듈 제작에 사용되는 재료의 비용이 낮고 대면적화가 용이하기 때문에 단결정 및 다결정 실리콘 태양전지가 가지고 있는

단점을 극복할 수 있다. 그래서 지속적인 연구를 통해 태양전지 시장에서 한 부분을 맡을 것으로 생각된다.

따라서 현재 박막 실리콘 태양전지가 가지고 있는 가장 큰 문제점은 낮은 효율이라고 볼 수 있는데 이러한 낮은 효율을 극복하기 위하여 ASA simulator를 이용한 고효율화 방안을 simulation을 통해 연구해 보았다.

#### 2. 실 험

efficiency가 가장 높은 상태를 찾기 위하여 p-layer의 thickness와 doping concentration, i-layer의 thickness, n-layer의 thickness, doping concentration을 변화시켰다.

simulation 순서는 다음과 같다.

표 1. 각 layer의 초기상태 조건

초기상태		
	Thickness	Doping concentration
p-layer	$10 \times 10^{-9}$ m	0.50eV
i-layer	$4.5 \times 10^{-7}$ m	.
n-layer	$2 \times 10^{-8}$ m	0.30eV

step 1 : 초기상태에서 p-layer의 thickness를 변화시킨다.

step 2 : 앞 실험에서 값을 고정시키고 i-layer의 thickness를 변화시킨다.

step 3 : 앞 실험에서 값을 고정시키고 n-layer의 thickness를 변화시킨다.

step 4 : 앞 실험에서 값을 고정시키고 p-layer의 doping concentration을 변화시킨다.

step 5 : 앞 실험에서 값을 고정시키고 n-layer의 doping concentration을 변화시킨다.

#### 3. 결과 및 고찰

초기상태에서 p-layer의 thickness를 변화시켜 보았다. 그림 1.에서 볼 수 있듯이 thickness가 비슷한 효율을 보이다가 일정 이상 두꺼워지자 효율이 크게 떨어지는 것을 확

인할 수 있다. 최대 효율은 10.63%로 thickness가  $9.5 \times 10^{-9} \text{m}$ 에서 나타났다.

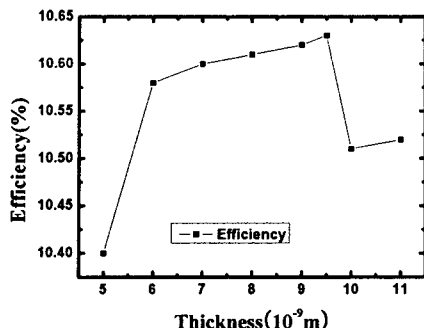


그림 1. p-layer의 thickness에 따른 효율 변화

그림2. 는 i-layer의 thickness의 변화에 따른 효율을 나타내었다. i-layer에서는 일정 thickness이상 두꺼워 지거나 얕아지면 효율의 차이가 많이 변화함을 볼 수 있다. 최대 효율은 10.71%로 thickness가  $4.535 \times 10^{-7} \text{m}$ 에서 나타났다.

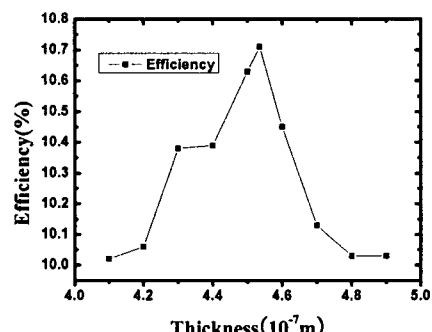


그림 2. i-layer의 thickness에 따른 효율 변화

그림3. 은 n-layer의 thickness 변화에 따른 효율을 나타내었다. n-layer는 thickness가 얕아질 때보다 두꺼워질 때 효율의 차이가 더 크게 나는 것을 확인할 수 있었다. 최대 효율은 10.71%로 thickness가  $2 \times 10^{-8} \text{m}$ 에서 나타났다. 초기상태의 값과 동일한 상태에서 최대효율을 나타내었다.

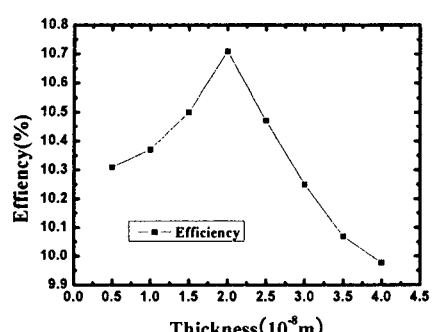


그림 3. n-layer의 thickness에 따른 효율 변화

그림4. 는 p-layer의 doping concentration 변화에 따른 효율을 나타내었다. p-layer는 doping concentration이 작은 경우 효율의 차이를 거의 보이지 않지만 커질수록 효율이

급격히 떨어짐을 확인할 수 있다. 최대 효율은 11.33%로 doping concentration이 0.2eV에서 나타났다.

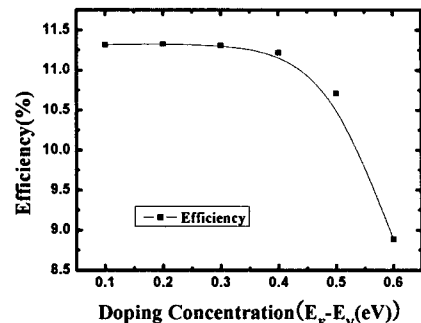


그림 4. p-layer의 doping concentration변화에 따른 효율 변화

그림5. 는 n-layer의 doping concentration 변화에 따른 효율을 나타내었다. n-layer는 doping concentration이 작은 경우 효율의 차이를 거의 보이지 않지만 커질수록 효율이 급격히 떨어짐을 확인할 수 있다. 최대 효율은 11.48%로 doping concentration이 0.1eV에서 나타났다.

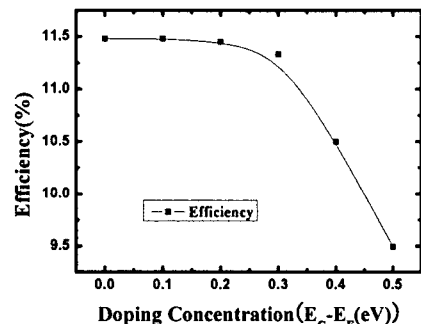


그림 5. n-layer의 doping concentration변화에 따른 효율 변화

#### 4. 결 론

각 layer의 thickness와 doping concentration을 가변하여 simulation 해 보았다.

최종적으로 11.48%의 효율을 얻게 되었는데 각각의 simulation에서의 특성을 살펴보면 thickness에서 p-layer는  $9.5 \text{nm}$ , i-layer는  $453.5 \text{nm}$ , n-layer는  $20 \text{nm}$ 에서 가장 좋은 효율을 보였는데 각 layer가 너무 두껍거나 얕을 경우 효율이 떨어짐을 확인하였다. 또한 doping concentration 가변에서 p-layer는  $0.2 \text{eV}$ , n-layer는  $0.1 \text{eV}$ 에서 가장 좋은 효율을 보였는데 그라프의 특성을 확인해 보면 doping concentration이 커질수록 효율이 확연히 떨어짐을 볼 수 있었다. 이는 doping concentration이 커질수록 도핑 농도가 낮음을 의미하는 것으로 도핑 농도가 클수록 효율이 상승한다는 것을 simulation 그라프에서 파악 할 수 있었다.

#### 참고 문헌

- [1] 이준신, “태양전지공학”, 그린
- [2] B.E. Pieters, J. Krc, M. Zeman, “ADVANCED NUMERICAL SIMULATION TOOL FOR SOLAR CELLS - ASA5”